

Calculation of The Electronic Energy Band Structure of GaAs Crystal Using the Semiempirical Tight Binding Method

Ismail Th. T. Yahya^{1*}, Mumtaz M. S. Hussien²

^{1,2}Department of Physics, College of Education for Pure Sciences, University of Mosul, Mosul, IRAQ

E-mail: ^{1*}ismael.esp126@student.uomosul.edu.iq, ²momtaz_hussien@uomosul.edu.iq

(Received February 02, 2021; Accepted March 30, 2021; Available online September 01, 2021)

DOI: [10.33899/edusj.2021.129475.1140](https://doi.org/10.33899/edusj.2021.129475.1140), © 2021, College of Education for Pure Science, University of Mosul.

This is an open access article under the CC BY 4.0 license (<http://creativecommons.org/licenses/by/4.0/>).

Abstract

In this paper, the semi-empirical tight binding method for the nearest neighbors in the first Brillouin zone has been used to calculate the energy band structure of GaAs crystal which have zinc blend ZB structure, the band structure has been calculated by using sp^3 model which have 9 parameters and sp^3s^* which have 13 parameters, both these models are used to calculate the main characteristic of both valence and conduction bands. The matrix elements were determined using the method followed by Cohen and Vogl, by identifying points in the wave vector space within the reduced Brillouin zone between the points of high symmetry and calculating the eigenvalues of all these points by building a computer program in MATLAB to form the energy band structure. The effective mass m^* along the direction [111] for the lowest conduction bands has been calculated. A comparison between the sp^3 model used by Cohen and the sp^3s^* model used by Vogl has been made. The energies of the band structure at points the high symmetry Γ and X obtained from the study were compared with the results of the published research. The results showed that there is a difference in the energy gap between sp^3 and sp^3s^* models and there is good agreement between the band energies at high symmetry points between these two models and the published results.

Keywords: band structure of GaAs, tight binding method, calculation of effective mass m^* .

حساب تركيب حزمة الطاقة الالكترونية لبلورة GaAs بأستخدام طريقة الربط المحكم شبه التجريبية

اسماعيل ثمين طليح يحيى^{1*}، ممتاز محمد صالح حسين²

^{2,1*} قسم الفيزياء، كلية التربية للعلوم الصرفة، جامعة الموصل، الموصل، العراق

المخلص

في هذا البحث تم استخدام طريقة الربط المحكم شبه التجريبية للجيران الاقرب في منطقة برليون الاولى في حساب حزم الطاقة لبلورة GaAs والتي تمتلك تركيب المشبك الخارصيني Zinc blende ZB حيث تم حساب شكل الحزم الالكترونية بأستخدام النموذج sp^3 الذي يمتلك 9 معلمات واستخدام النموذج sp^3s^* والذي يمتلك 13 من المعلمات التي تستخدم في حساب الخصائص الرئيسية لحزم التوصيل والتكافؤ. تم تحديد عناصر المصفوفة باستخدام الطريقة التي اتبعها كل من Cohen وVogl، بواسطة تحديد نقاط في فضاء متجه الموجة داخل منطقة برليون المختزلة بين نقاط التماثل العالي وحساب القيم الذاتية لكل هذه النقاط من خلال

بناء برنامج حاسوبي بلغة MATLAB لتشكيل حزمة الطاقة. وتم حساب الكتلة الفعالة m^* على طول اتجاه التماثل [111] لأدنى حزمة للتوصيل، وكذلك اجريت مقارنة للناتج التي تم الحصول عليها باستخدام النموذج sp^3 الذي اتبعه Cohen والنموذج sp^3s^* الذي اتبعه Vogl. قورنت النتائج طاقات تركيب الحزمة في نقاط التماثل العالية Γ و X التي تم الحصول عليها من الدراسة مع نتائج البحوث المنشورة وبينت النتائج ان هناك فرق في فجوة الطاقة بين النموذج sp^3 و sp^3s^* ، وتوافق في طاقات تركيب الحزمة في نقاط التماثل العالية بين هذين النموذجين والدراسات السابقة.

الكلمات الدالة: تركيب حزم الطاقة لـ GaAs، طريقة الربط المحكم، حساب الكتلة الفعالة m^* .

المقدمة

يعتبر حساب تركيب حزم الطاقة في المواد شبه الموصلة من المسائل الضرورية في فيزياء الحالة الصلبة، إذ يمكن معرفة شكل حزمة الطاقة والدوال الموجية المقابلة لها من معرفة خصائص هذه المواد، ومن ضمن هذه الخصائص التوصيلية الالكترونية والحرارية والخصائص البصرية والخصائص الطيفية الاخرى، وتعتبر هذه الخصائص مهمة في تفسير العديد من المسائل التي تتميز بها المادة الصلبة. يمكن تحديد حزم الطاقة في المادة الصلبة عن طريق حل معادلة شرودينكر (Schrödinger) باستخدام تقريب الإلكترون المنفرد داخل المادة الصلبة التي تحدث فيها العديد من التفاعلات بين الالكترونات والذرات [1]. هناك العديد من الطرائق التي تستخدم لحساب تركيب حزمة الطاقة، إذ تختلف دقة الحسابات باستخدام هذه الطرائق من مادة الى اخرى فقد تكون هذه الطريقة جيدة في وصف تركيب الحزمة لبعض المواد الصلبة في حين تكون غير دقيقة في حساب تركيب حزمة الطاقة لمواد اخرى [2]. لذلك يجب تحديد الطريقة المناسبة لحساب شكل حزمة الطاقة لمادة معينة. تصنف طرائق حساب تركيب حزمة الطاقة الى فئتين رئيسيتين: الفئة الاولى تشمل الطرائق البدائية ab initio مثل نظرية Hartree – Fock ونظرية دالة الكثافة Density function theory DFT من خلال هذه الطرائق يتم حساب تركيب الحزمة الالكترونية بدون الحاجة إلى معاملات ملائمة تجريبية [3]. أما الفئة الثانية فتشمل العديد من الطرائق التجريبية Empirical methods منها طريقة الموجة المستوية المتعامدة Orthogonalized plane wave OPW، طريقة الربط المحكم التي تسمى ايضاً بطريقة الجمع الخطي للمدارات الذرية Linear combination of atomic orbitals LCAO أو طريقة بلوخ، طريقة k.p المستندة الى نظرية الاضطراب Perturbation، وطريقة الجهد الكاذب Pseudo potential. يتم حساب التركيب الالكتروني من خلال هذه الطرائق بواسطة حل معادلة شرودينكر للإلكترون المنفرد One – electron Schrödinger equation [4]. لذلك تكون الطرائق التجريبية (الفئة الثانية) هي اقل تكلفة حاسوبياً من الطرائق البدائية (الفئة الاولى) التي تستخدم في تكوين الحزمة الالكترونية في المادة الصلبة [5].

تم استخدام طريقة الربط المحكم Tight binding TB على نطاق واسع خلال العقود القليلة الماضية لدراسة أشباه الموصلات. يعطي هذا النموذج طبيعة أكثر واقعية مقارنة بالطرائق الاخرى بسبب بساطته وقدرته على وصف خصائص الاواصر الكيميائية [6]. تعتبر طريقة TB مناسبة للتعامل مع الأنظمة الأكبر مقارنة بالطرائق التي تستخدم نموذج الموجات المستوية في حساب تركيب حزمة الطاقة بسبب انخفاض التكاليف الحسابية. تم وصف طريقة الربط المحكم (TB) باستخدام نموذج Slater and Koster على أنها مخطط استكمالي استخدم بكثرة في مدى واسع يمتد من المعادن الانتقالية الى بلورات شبه الموصلة.

تم تطويرها لتصبح تقنية أساسية في توضيح التركيب الإلكتروني للمواد الصلبة [7]. إذ يجب استخدام الحد الأدنى من الأساس الذري sp^3 بالنسبة لأشباه الموصلات رباعية السطوح وتكون التفاعلات بين الذرات المتجاورة الأقرب هي الضرورية فقط. يعطي نموذج sp^3 وصفاً جيداً للتركيب الإلكتروني لحزمة التكافؤ أكثر من حزمة التوصيل أضاف Vogl وجماعته مداراً ذرياً وهمياً s^* إلى الأساس الذري sp^3 للحصول على تقدير دقيق لفجوة الحزمة [8]. فأدى ذلك إلى ضبط المعلمات الإلكترونية المختلفة لنموذج sp^3s^*TB ، إذ أصبح من الممكن محاكاة الطاقات القصوى لحزمة التوصيل والتكافؤ، وبالتالي الحصول على فجوة الحزمة الصحيحة. إلا أن هذا النموذج فشل في حساب تشتت حزمة الطاقة حتى بالنسبة لأدنى حزمة غير مشغولة. وذلك نتيجة اعتبار تضمين المدار s^* ونقاط قوة المعلمة الإلكترونية المرتبطة به هي مجرد معلمة مخصصة بدون أي أساس [9]. وعلى الرغم من ذلك، فإن جميع الدراسات تقريباً في الحصول على معلمة TB لوصف التراكيب الإلكترونية لأشباه الموصلات رباعية السطوح هذه قد سارت بهذا الاتجاه. يعد نموذج sp^3s^* العالمي مفيداً إذ يحتاج فقط إلى معرفة المسافة بين الذرات للحصول على معلمة التفاعل، ولكن قابليتها للتطبيق تكون محدودة لأنها لا تعطي وصفاً جيداً للجزء غير المشغول من حزمة الطاقة [9]. تهدف الدراسة الحالية إلى حساب تركيب الحزمة لبلورة GaAs من خلال بناء برنامج حاسوبي وباستخدام النموذجين وإجراء مقارنة بين هذه النماذج من خلال شكل الحزمة وفجوة الطاقة بين نقاط التناظر العالية وحساب الكتلة الفعالة بالاتجاه [111] بشكل مباشر من حساب حزم الطاقة.

نظرية الربط المحكم

تعد طريقة الربط المحكم من أهم الطرائق التي تستخدم في وصف التركيب الإلكتروني في الجزيئات والمواد الصلبة ويعتبر Slater and Koster من وضع المبادئ الأساسية لهذه الطريقة بعد أن قام بتعديل الطريقة التي اقترحها Bloch. إذ تم استخدامها لوصف حزم الطاقة للأنظمة الدورية من خلال تقديمه صورة مفهومة للأوصاف الكيميائية. تمتاز هذه الطريقة بأنها تكون دقيقة جداً في حساب حزم الطاقة لإلكترونات التكافؤ وأقل دقة لحزم الطاقة لإلكترونات التوصيل في البلورات ذات تركيب المشبك الخارصيني ZB، وكذلك تمتاز باحتوائها على عدد قليل من معاملات التشابك مقارنة بالطرائق الأخرى [10].

يعبر نموذج الربط المحكم التجريبي Empirical tight binding method ETBM عن الحالات الإلكترونية كمجموعات خطية من المدارات الذرية (s, p, d, \dots) [11]. لا يتم تقييم عناصر مصفوفة هاميلتون بين الحالات المدارية الذرية بشكل مباشر ولكن بدلاً من ذلك يتم تقديمها كمعلمة حرة يتم تحديدها بالاعتماد على تركيب فجوات وانحناءات حزم الطاقة والكتل الفعالة في النقاط الحرجة في منطقة برليون Brillouin zone BZ. يتطلب في نموذج الربط المحكم التجريبي تحديد تكاملات التشابك من حيث فجوات حزم الطاقة المباشرة وغير المباشرة المقاسة أو الكتل الفعالة في المادة السائبة اعتماداً على عدد المستويات والجيران الأقرب المستخدمة لتمثيل هذه الحالات [12]. يحتوي مثلاً أساس sp^3s^* مع مخطط الجيران الأقرب من المرتبة الثانية Second nearest neighbor 2NN يحتوي على 27 معلمة لتركيب ZB، والطاقات والكتل الفعالة التي تم الحصول عليها من المصفوفة القطرية وحزم الطاقة الناتجة هي دوال غير خطية لهذه المعلمة، والتي يمكن بناءها عن طريق التجربة والخطأ [13]. يؤخذ على طريقة الربط المحكم عدم وجود علاقة واضحة بين معلمة الإدخال والكميات المحددة تجريبياً والذي يعتبر من العيوب

الشائعة في هذه الطريقة لأجراء حسابات معقدة لتركيب حزم الطاقة. يمكن أيضاً تطبيق ETBM على حسابات تركيب شبكة الحزم الفاتقة [14].

بأستخدام نظرية Slater and Koster للربط المحكم شبه التجريبي لنموذج sp^3 تم فرض معادلة شرودينكر على شكل مصفوفة بالصيغة التالية [15]:

$$\sum_{\beta} [H_{\alpha\beta}(k) - S_{\alpha\beta}(k)E]u_{\beta} = 0 \quad (1)$$

حيث تمثل E القيمة الذاتية للطاقة لمصفوفة هاميلتون، α و β تمثل نوع المدار لمعاملات الربط المحكم $H_{\alpha\beta} = \langle \chi_{\alpha}(k) | H | \chi_{\beta}(k) \rangle$ و $S_{\alpha\beta} = \langle \chi_{\alpha}(k) | \chi_{\beta}(k) \rangle$ هي تكامل التشابك بين المدارات الشبيهة بالذرات مع α و β التي تتوافق مع المدارات الذرية المتمثلة بالكاتيون (c) والأنيون (a) على التوالي. χ_{α} هي الدالة الأساسية المكونة من مزيج خطي من المدارات الذرية للكاتيون والأنيون. و χ_{β} هو معامل دالة الموجة. التفاعل بين المدارات s^a و s^c في أشباه الموصلات المركبة التي لها تركيب ZB الموضحة في الشكل (1) يكتب بالصيغة الآتية [15]:

$$\langle s^c | H | s^a \rangle = E_{ss} \sum_{n=1}^4 e^{ik \cdot r_n} = E_{ss} (e^{ik \cdot r_1} + e^{ik \cdot r_2} + e^{ik \cdot r_3} + e^{ik \cdot r_4}) \quad (2)$$

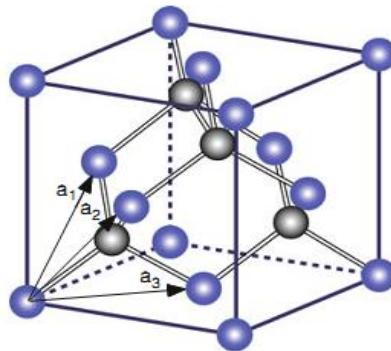
اذ تمثل r_1, r_2, r_3, r_4 متجهات الإزاحة للجيران الاقرب Nearest neighbor NN وتساوي:

$$r_1 = (a/4)(+1, +1, +1)$$

$$r_2 = (a/4)(+1, -1, -1)$$

$$r_3 = (a/4)(-1, +1, -1)$$

$$r_4 = (a/4)(-1, -1, +1)$$



الشكل (1) وحدة الخلية لتركيب بلورة كبريتيد الزنك

بينما يمثل a ثابت الشبكة. يمكن وصف التفاعل بين المدارات s و $p_x p_y p_z$ لذرة الكاتيون الأولى وذرات الأنيون الثانية بالصيغ الآتية [16]:

$$\langle s^c | H | s^a \rangle = E_{ss} (e^{ik.r_1} + e^{ik.r_2} + e^{ik.r_3} + e^{ik.r_4}) = E_{ss} g_0(k) \quad (3)$$

$$\langle s^c | H | p_x^a \rangle = E_{sp} (e^{ik.r_1} - e^{ik.r_2} + e^{ik.r_3} - e^{ik.r_4}) = E_{sp} g_1(k) \quad (4)$$

$$\langle s^c | H | p_y^a \rangle = E_{sp} (e^{ik.r_1} - e^{ik.r_2} - e^{ik.r_3} + e^{ik.r_4}) = E_{sp} g_2(k) \quad (5)$$

$$\langle s^c | H | p_z^a \rangle = E_{sp} (e^{ik.r_1} + e^{ik.r_2} - e^{ik.r_3} - e^{ik.r_4}) = E_{sp} g_3(k) \quad (6)$$

تمثل التفاعلات بين المدارات p نفسها لذرات الكاتيون والأنيون بعناصر المصفوفة القطرية وتحسب بالصيغ الآتية:

$$\langle p_x^c | H | p_x^a \rangle = E_{xx} g_0(k) \quad (7)$$

$$\langle p_y^c | H | p_y^a \rangle = E_{xx} g_0(k) \quad (8)$$

$$\langle p_z^c | H | p_z^a \rangle = E_{xx} g_0(k) \quad (9)$$

تمثل التفاعلات بين المدارات p المختلفة لذرات الكاتيون والأنيون عناصر المصفوفة غير القطرية ويتم حسابها من خلال الصيغ الآتية [15]:

$$\langle p_x^c | H | p_y^a \rangle = \langle p_y^c | H | p_x^a \rangle = E_{xy} g_3(k) \quad (10)$$

$$\langle p_x^c | H | p_z^a \rangle = \langle p_z^c | H | p_x^a \rangle = E_{xy} g_2(k) \quad (11)$$

$$\langle p_y^c | H | p_z^a \rangle = \langle p_z^c | H | p_y^a \rangle = E_{xy} g_1(k) \quad (12)$$

تتضمن مصفوفة هاميلتون (8×8) في نموذج الربط المحكم التجريبية الأساس sp^3 جميع عناصر التفاعل وتعطى بالصيغة الآتية [12]:

$$H = \begin{bmatrix} E_{s_0} & V_{ss}g_0 & 0 & 0 & 0 & V_{s_0p}g_1 & V_{s_0p}g_2 & V_{s_0p}g_3 \\ V_{ss}g_0^* & E_{s_1} & -V_{s_1p}g_1^* & -V_{s_1p}g_2^* & -V_{s_1p}g_3^* & 0 & 0 & 0 \\ 0 & -V_{s_1p}g_1 & E_{p_0} & 0 & 0 & V_{xx}g_0 & V_{xy}g_3 & V_{xy}g_1 \\ 0 & -V_{s_1p}g_2 & 0 & E_{p_0} & 0 & V_{xy}g_3 & V_{xx}g_0 & V_{xy}g_1 \\ 0 & -V_{s_1p}g_3 & 0 & 0 & E_{p_0} & V_{xy}g_1 & V_{xy}g_2 & V_{xx}g_0 \\ V_{s_0p}g_1^* & 0 & V_{xx}g_0^* & V_{xy}g_3^* & V_{xy}g_1^* & E_{p_1} & 0 & 0 \\ V_{s_0p}g_2^* & 0 & V_{xy}g_3^* & V_{xx}g_0^* & V_{xy}g_2^* & 0 & E_{p_1} & 0 \\ V_{s_0p}g_3^* & 0 & V_{xy}g_1^* & V_{xy}g_2^* & V_{xx}g_0^* & 0 & 0 & E_{p_1} \end{bmatrix} \quad (13)$$

تمثل g_i^* المرافق المعقد لعنصر مصفوفة g_i ، وتمثل E_{ss} ، E_{xx} ، E_{s_0p} ، E_{s_1p} و E_{xy} عناصر مصفوفة الانتقال وتعرف بمصطلحات القفز. وتمثل القيم $g_0(k)$ ، $g_1(k)$ ، $g_2(k)$ و $g_3(k)$ مجاميع بلوخ وتعطى حسب نموذج sp^3 بالصيغ الآتية [12]:

$$g_0(k) = +\cos\left(\pi \frac{k_1}{2}\right) \cos\left(\pi \frac{k_2}{2}\right) \cos\left(\pi \frac{k_3}{2}\right) - i \sin\left(\pi \frac{k_1}{2}\right) \sin\left(\pi \frac{k_2}{2}\right) \sin\left(\pi \frac{k_3}{2}\right) \quad (14)$$

$$g_1(k) = -\cos\left(\pi \frac{k_1}{2}\right) \sin\left(\pi \frac{k_2}{2}\right) \sin\left(\pi \frac{k_3}{2}\right) + i \sin\left(\pi \frac{k_1}{2}\right) \cos\left(\pi \frac{k_2}{2}\right) \cos\left(\pi \frac{k_3}{2}\right) \quad (15)$$

$$g_2(k) = -\sin\left(\pi \frac{k_1}{2}\right) \cos\left(\pi \frac{k_2}{2}\right) \sin\left(\pi \frac{k_3}{2}\right) + i \cos\left(\pi \frac{k_1}{2}\right) \sin\left(\pi \frac{k_2}{2}\right) \cos\left(\pi \frac{k_3}{2}\right) \quad (16)$$

$$g_3(k) = -\sin\left(\pi \frac{k_1}{2}\right) \sin\left(\pi \frac{k_2}{2}\right) \cos\left(\pi \frac{k_3}{2}\right) + i \cos\left(\pi \frac{k_1}{2}\right) \cos\left(\pi \frac{k_2}{2}\right) \sin\left(\pi \frac{k_3}{2}\right) \quad (17)$$

تعطي طريقة Slater and Koster في نموذج الربط المحكم sp^3s^* وصفاً جيداً لمنحنيات تشتت حزمة التكافؤ، إلا أن منحنيات تشتت حزمة التوصيل لم يتم وصفها بدقة، لا سيما فجوة الحزمة غير المباشرة عند نقطة التناظر X التي لا تعطي نتائج دقيقة. قدم Vogl وجماعته للتغلب على هذه المشكلة نموذجاً للربط المحكم sp^3s^* وذلك بتضمين تأثير الحالة d المثارة [17]. يتم في هذا النموذج وصف كل ذرة ليس فقط بمدار تكافؤها الخارجي s وثلاثة مدارات p وإنما بالمدار المثار الوهمي s^* لمراعاة تأثير الحالات الأعلى. يؤدي احتساب تفاعلات الجيران الأقرب من المرتبة الثانية (2NN) لذرات الكاتيون و الأنيون الى تحسين دقة نظرية الربط المحكم التجريبية (ETBM) لنموذج sp^3s^* في تحديد ميزات تركيب حزمة التوصيل عند نقطتي التناظر العاليتين X و L. يمكن حساب منحنيات تشتت حزمة التوصيل بدقة عند نقطة التناظر X العالية عن طريق إضافة الحالة المثارة مع اقتران s – p إلى القاعدة المدارية sp^3s^* . بالإضافة الى ذلك فإن تضمين تفاعلات الجيران الأقرب من المرتبة الثانية (2NN) لذرات الكاتيون والأنيون في مجموعة الأساس ينتج عنه ملائمة أفضل لمنحنى تشتت حزمة التوصيل عند نقطة التناظر L [16].

يتم في مصفوفة هاميلتون (10×10) لنموذج الربط المحكم شبه التجريبية sp^3s^* وصف كل ذرة كاتيون وذرة أنيون من خلال مدار التكافؤ الخارجي، والمدارات الثلاثة الخارجية، والمدار الوهمي المثار المضاف. إذ تم إضافة معلمتين لتفاعلات الجيران الأقرب من الرتبة الثانية (2NN) في مصفوفة هاميلتون في نموذج الربط المحكم وتعطى بالصيغة الآتية [17]:

$$H = \begin{bmatrix} E_{sa} & V_{ss}g_0 & 0 & 0 & 0 & V_{sa,pc}g_1 & V_{sa,pc}g_2 & V_{sa,pc}g_3 & 0 & 0 \\ V_{ss}g_0^* & E_{sc} & -V_{pa,sc}g_1^* & -V_{pa,sc}g_2^* & -V_{pa,sc}g_3^* & 0 & 0 & 0 & 0 & 0 \\ 0 & -V_{pa,sc}g_1 & E_{pa} & 0 & 0 & V_{xx}g_0 & V_{xy}g_3 & V_{xy}g_2 & 0 & -V_{pa,s^*c}g_1 \\ 0 & -V_{pa,sc}g_2 & 0 & E_{pa} & 0 & V_{xy}g_3 & V_{xx}g_0 & V_{xy}g_1 & 0 & -V_{pa,s^*c}g_2 \\ 0 & -V_{pa,sc}g_3 & 0 & 0 & E_{pa} & V_{xy}g_2 & V_{xy}g_1 & V_{xx}g_0 & 0 & -V_{pa,s^*c}g_3 \\ V_{sa,pc}g_1^* & 0 & V_{xx}g_0^* & V_{xy}g_3^* & V_{xy}g_2^* & E_{pc} & 0 & 0 & V_{s^*a,pc}g_1 & 0 \\ V_{sa,pc}g_2^* & 0 & V_{xy}g_3^* & V_{xx}g_0^* & V_{xy}g_1^* & 0 & E_{pc} & 0 & V_{s^*a,pc}g_2 & 0 \\ V_{sa,pc}g_3^* & 0 & V_{xy}g_2^* & V_{xy}g_1^* & V_{xx}g_0^* & 0 & 0 & E_{pc} & V_{s^*a,pc}g_3 & 0 \\ 0 & 0 & 0 & 0 & 0 & V_{s^*a,pc}g_1^* & V_{s^*a,pc}g_2^* & V_{s^*a,pc}g_3^* & E_{s^*a} & V_{s^*s^*}g_0 \\ 0 & 0 & -V_{pa,s^*c}g_1^* & -V_{pa,s^*c}g_2^* & -V_{pa,s^*c}g_3^* & 0 & 0 & 0 & V_{s^*s^*}g_0^* & E_{s^*a} \end{bmatrix} \quad (18)$$

حيث E_s^a ، E_s^c ، E_p^a ، E_p^c ، E_s^a ، E_s^c تعرف بانها الطاقات الذرية الموجودة في الموقع لذرات الكاتيونات والأنيونات. $\epsilon_{sx} = \epsilon(sc(a), p_x c(a))$ و $\epsilon_{xy} = \epsilon(p_x c(a), p_y c(a))$ هما عنصرا مصفوفة الانتقال في للجيران الأقرب من المرتبة الثانية (2NN) لذرات الكاتيون والأنيون. إذ تشير كل من s و p إلى حالات الأساس، ويشير a و c إلى الأنيون (على سبيل المثال As، N و Sb) والكاتيون (على سبيل المثال Al، Ga و In) على التوالي. يتم هنا وصف كل ذرة كاتيون وأنيون من خلال مدارات التكافؤ الخارجية لكل دوران: s، p_x ، p_y ، p_z ، ومدار إضافي s^* وهو حالة مدارية مثارة، تعطى مجاميع بلوخ حسب نموذج sp^3s^* بالصيغ الآتية [17]:

$$g_0(k) = +\cos\left(a \frac{k_1}{4}\right) \cos\left(a \frac{k_2}{4}\right) \cos\left(a \frac{k_3}{4}\right) - i \sin\left(a \frac{k_1}{4}\right) \sin\left(a \frac{k_2}{4}\right) \sin\left(a \frac{k_3}{4}\right) \quad (19)$$

$$g_1(k) = -\cos\left(a \frac{k_1}{4}\right) \sin\left(a \frac{k_2}{4}\right) \sin\left(a \frac{k_3}{4}\right) + i \sin\left(a \frac{k_1}{4}\right) \cos\left(a \frac{k_2}{4}\right) \cos\left(a \frac{k_3}{4}\right) \quad (20)$$

$$g_2(k) = -\sin\left(a\frac{k_1}{4}\right)\cos\left(a\frac{k_2}{4}\right)\sin\left(a\frac{k_3}{4}\right) + i\cos\left(a\frac{k_1}{4}\right)\sin\left(a\frac{k_2}{4}\right)\cos\left(a\frac{k_3}{4}\right) \quad (21)$$

$$g_3(k) = -\sin\left(a\frac{k_1}{4}\right)\sin\left(a\frac{k_2}{4}\right)\cos\left(a\frac{k_3}{4}\right) + i\cos\left(a\frac{k_1}{4}\right)\cos\left(a\frac{k_2}{4}\right)\sin\left(a\frac{k_3}{4}\right) \quad (22)$$

يوضح الجدول (1) قيم المعلمات التجريبية لمصفوفة هاميلتون بوحدة eV لبلورة GaAs لنموذج sp^3s^* الذي يحتوي على 13 معلمة ونموذج sp^3 الذي يحتوي على 9 معلمات [12, 17].

الجدول (1) المعلمات التجريبية لمصفوفة هاميلتون بوحدة eV لبلورة GaAs

Parameters	[17] sp^3s^*	sp^3 [12]
E_{sa}	-8.3431	-6.01
E_{pa}	1.0414	0.19
E_{sc}	-2.6569	-4.79
E_{pc}	3.6686	4.58
E_{s^*a}	8.5914	
E_{s^*c}	6.7386	
V_{ss}	-6.4513	-7.00
V_{xx}	1.9546	0.93
V_{xy}	5.0779	4.72
V_{sapc}	4.4800	7.28
V_{pasc}	5.7839	3.70
V_{s^*apc}	4.8422	
V_{pas^*c}	4.8077	

الحسابات والنتائج

لحساب عناصر المصفوفة يتم حساب معاملات التشابك (Overlap parameters) أولاً باستخدام العلاقة الآتية [16]:

$$V_{ll'm} = \eta_{ll'm} \frac{\hbar^2}{m_e d^2} \quad (23)$$

اذ يمثل d : طول الأصرة بين الذرات، و \hbar : هو $(\hbar = h/2\pi)$ ثابت بلانك، m_e : كتلة الإلكترون و $\eta_{ll'm}$: عامل هندسي

$$\text{للتكريب رباعي الوجه، ويأخذ القيم } \eta_{pp\sigma} = 3.24, \eta_{pp\pi} = -0.9\eta_{sp\sigma} = 1.88,$$

$\eta_{ss\sigma} = -1.39$, ان الميزة الاساسية لطريقة الربط المحكم تتمثل في حساب عناصر مصفوفة الهاميلتون التي ترتبط مع معاملات

التشابك بالعلاقات الآتية :

$$V_{ss} = 4V_{ss\sigma} \quad (24)$$

$$V_{sp} = 4V_{sp\sigma}/\sqrt{3} \quad (25)$$

$$V_{xx} = (4V_{pp\sigma}/3) + (8V_{pp\pi}/3) \quad (26)$$

$$V_{xy} = (4V_{pp\sigma}/3) - (4V_{pp\pi}/3) \quad (27)$$

وبعد حساب عناصر المصفوفة يتم إيجاد المحدد العام (Secular determinant) لكل التفاعلات الممكنة بين مدارات s و p للذرات المتجاورة المتمركزة على كل ذرة في البلورة باستخدام طريقة الربط المحكم. يعبر عن محدد نموذج sp^3 بالصيغة الآتية [12]:

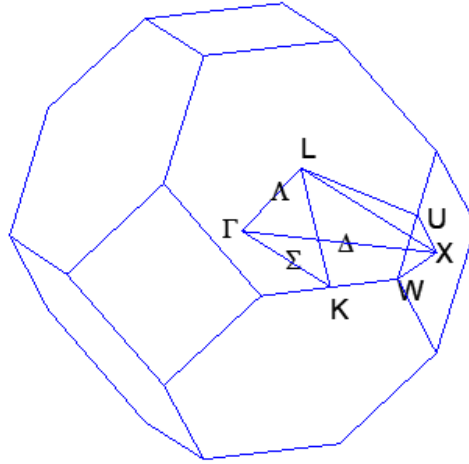
$$\begin{vmatrix} E_{s_0} - E(k) & V_{ss}g_0 & 0 & 0 & 0 & V_{s_0p}g_1 & V_{s_0p}g_2 & V_{s_0p}g_3 \\ V_{ss}g_0^* & E_{s_1} - E(k) & -V_{s_1p}g_1^* & -V_{s_1p}g_2^* & -V_{s_1p}g_3^* & 0 & 0 & 0 \\ 0 & -V_{s_1p}g_1 & E_{p_0} - E(k) & 0 & 0 & V_{xx}g_0 & V_{xy}g_3 & V_{xy}g_1 \\ 0 & -V_{s_1p}g_2 & 0 & E_{p_0} - E(k) & 0 & V_{xy}g_3 & V_{xx}g_0 & V_{xy}g_1 \\ 0 & -V_{s_1p}g_3 & 0 & 0 & E_{p_0} - E(k) & V_{xy}g_1 & V_{xy}g_2 & V_{xx}g_0 \\ V_{s_0p}g_1^* & 0 & V_{xx}g_0^* & V_{xy}g_3^* & V_{xy}g_1^* & E_{p_1} - E(k) & 0 & 0 \\ V_{s_0p}g_2^* & 0 & V_{xy}g_3^* & V_{xx}g_0^* & V_{xy}g_2^* & 0 & E_{p_1} - E(k) & 0 \\ V_{s_0p}g_3^* & 0 & V_{xy}g_1^* & V_{xy}g_2^* & V_{xx}g_0^* & 0 & 0 & E_{p_1} - E(k) \end{vmatrix} = 0$$

بينما المحدد لنموذج sp^3s^* يعبر عنه بالصيغة الآتية [17]:

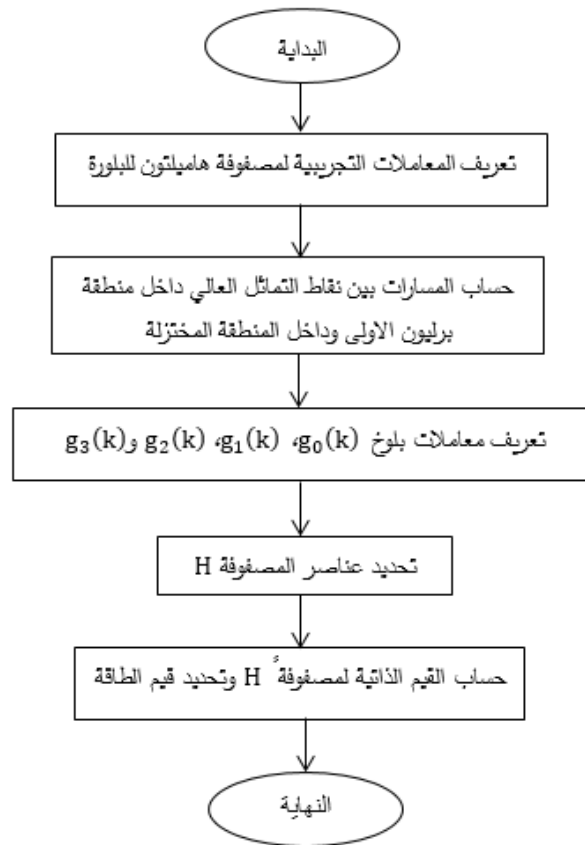
$$\begin{vmatrix} E_{s_a} - E(k) & V_{ss}g_0 & 0 & 0 & 0 & V_{sa,pc}g_1 & V_{sa,pc}g_2 & V_{sa,pc}g_3 & 0 & 0 \\ V_{ss}g_0^* & E_{s_c} - E(k) & -V_{pa,sc}g_1^* & -V_{pa,sc}g_2^* & -V_{pa,sc}g_3^* & 0 & 0 & 0 & 0 & 0 \\ 0 & -V_{pa,sc}g_1 & E_{p_a} - E(k) & 0 & 0 & V_{xx}g_0 & V_{xy}g_3 & V_{xy}g_2 & 0 & -V_{pa,s^*c}g_1 \\ 0 & -V_{pa,sc}g_2 & 0 & E_{p_a} - E(k) & 0 & V_{xy}g_3 & V_{xx}g_0 & V_{xy}g_1 & 0 & -V_{pa,s^*c}g_2 \\ 0 & -V_{pa,sc}g_3 & 0 & 0 & E_{p_a} - E(k) & V_{xy}g_2 & V_{xy}g_1 & V_{xx}g_0 & 0 & -V_{pa,s^*c}g_3 \\ V_{sa,pc}g_1^* & 0 & V_{xx}g_0^* & V_{xy}g_3^* & V_{xy}g_2^* & E_{p_c} - E(k) & 0 & 0 & V_{s^*a,pc}g_1 & 0 \\ V_{sa,pc}g_2^* & 0 & V_{xy}g_3^* & V_{xx}g_0^* & V_{xy}g_1^* & 0 & E_{p_c} - E(k) & 0 & V_{s^*a,pc}g_2 & 0 \\ V_{sa,pc}g_3^* & 0 & V_{xy}g_2^* & V_{xy}g_1^* & V_{xx}g_0^* & 0 & 0 & E_{p_c} - E(k) & V_{s^*a,pc}g_3 & 0 \\ 0 & 0 & 0 & 0 & 0 & V_{s^*a,pc}g_1^* & V_{s^*a,pc}g_2^* & V_{s^*a,pc}g_3^* & E_{s^*a} - E(k) & V_{s^*s^*}g_0 \\ 0 & 0 & -V_{pa,s^*c}g_1^* & -V_{pa,s^*c}g_2^* & -V_{pa,s^*c}g_3^* & 0 & 0 & 0 & V_{s^*s^*}g_0^* & E_{s^*a} - E(k) \end{vmatrix} = 0$$

في الفضاء المقلوب يمكن تعريف منطقة برليون الأولى بأنها المنطقة الأقرب لنقطة شبكة معينة من أي نقطة شبكة أخرى (أي تمثل الحجم الأصغر) تدعى النقاط التي تملك تناظر عالي في منطقة برليون بالنقاط الحرجة، فمثلا نقاط التناظر العالية لشبكة بلورية مكعبة FCC هي L, Γ, X, U, K, W ويكون مركز منطقة برليون هو النقطة Γ [18]. يمكن تحديد عدد من المسارات في منطقة برليون الأولى بين نقاط التناظر العالية فالمسار Λ بين النقطة Γ والنقطة L وهذا المسار يمثل الاتجاه [111] في منطقة برليون الأولى. أما المسار Δ بين النقطة Γ والنقطة X ويمثل الاتجاه [010]، والمسار Σ بين النقطة Γ والنقطة K ويمثل الاتجاه [110]. ويبين الشكل (2) هذه المسارات ونقاط التناظر العالية في منطقة برليون الأولى.

في هذه الدراسة قمنا بحساب حزم الطاقة عند النقاط عالية التماثل في منطقة برليون الأولى وذلك من خلال برنامج حاسوبي تم إعداده بلغة MATLAB. حيث يقوم البرنامج بإيجاد منظومة النقاط داخل منطقة برليون الأولى وداخل المنطقة المختزلة على مسارات بين نقاط التماثل العالي، تشمل هذه المسارات الاتجاهات الخاصة المرتبة بالنقاط $L \rightarrow \Gamma, \Gamma \rightarrow X, X \rightarrow (U, K), (U, K) \rightarrow \Gamma$. إذ تم حساب النقاط البينية بين نقاط التناظر العالية بطريقة هندسية وذلك بتقسيم المسافة بين أي نقطتين إلى عدد من المسافات المتساوية في أربع مناطق تم تحديدها بين نقاط التناظر العالية. هذه القيم تمثل قيم متجة الموجة والتي تدخل في حساب عناصر المصفوفة H ، لكل قيمة من قيم متجة الموجة يتم حساب القيم الذاتية للمصفوفة H والتي تمثل قيم الطاقة المقابلة لمتجه الموجة. ويبين الشكل (3) المخطط الانسيابي للبرنامج الخاص بحساب تركيب الحزمة.



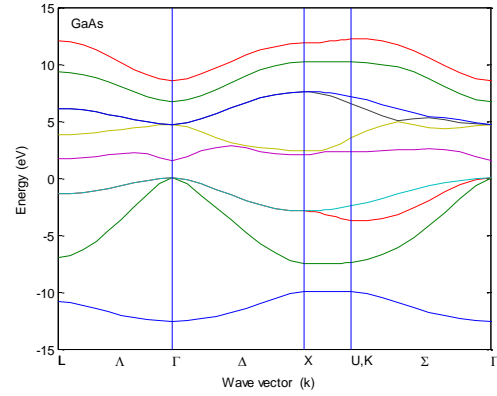
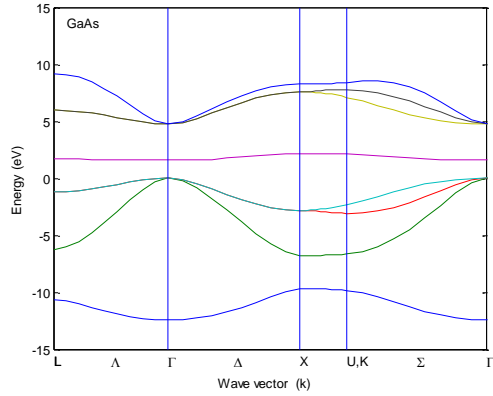
الشكل (2) منطقة برليون الأولى لشبكة بلورية مكعبة ممرزة الوجه FCC مع بعض نقاط التناظر العالي



الشكل (3) مخطط الخوارزمية لحساب القيم الذاتية للمصفوفة هاميلتون وتحديد قيم الطاقة.

توضح الاشكال (4) و(5) شكل حزم الطاقة المحسوبة باستخدام النموذج sp^3s^* والنموذج sp^3 على التوالي، اذ اظهرت النتائج وصفاً جيداً لحزمة التكافؤ باستخدام هذين النموذجين مع ظهور بعض الفوارق بين قيم الطاقة عند النقاط عالية التناظر وكما

مبينة في الجدول (2)، اذ يوضح هذا الجدول طاقات الحزم عند نقاط التماثل التي تم الحصول عليها من الحسابات في الدراسة الحالية ومقارنتها مع نتائج (Cohen [12] ، Vogl [17] و Klimeck [13]). كما اظهرت النتائج بالنسبة لحزمة التوصيل ان نموذج sp^3s^* يعطي نتائج افضل من النموذج sp^3 حيث تظهر عدة حزم اضافية في حزم التوصيل نتيجة لزيادة حجم مصفوفة الهاميلتون H. يبين الجدول (3) فجوة الطاقة لبلورة GaAs عند نقاط التماثل Γ ، X و L ولنموذجي sp^3 و sp^3s^* مقارنة مع اعمال سابقة.



الشكل (5) تركيب حزمة الطاقة لبلورة GaAs نموذج sp^3

الشكل (4) تركيب حزمة الطاقة لبلورة GaAs نموذج sp^3s^*

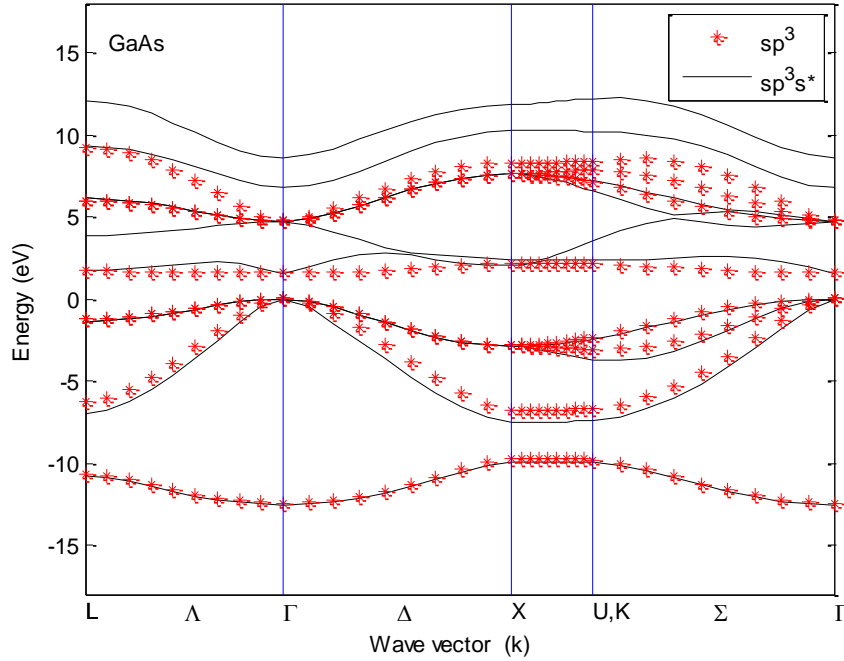
الجدول (2) طاقات تركيب حزمة الطاقة في نقاط التماثل لتركيب ZB بوحدة eV لبلورة GaAs

parameters	sp^3	sp^3s^*	sp^3s^* [17]	sp^3s^* [13]	sp^3 [12]
Γ_1^v	-12.427	-12.5500	-12.55	-13.100	-12.4
Γ_1^c	1.6265	1.5500	1.55	1.424	1.6
Γ_{15}^c	4.779	4.7100	4.71	4.865	4.8
X_1^v	-9.7149	-9.9655	-9.83	-4.710	-9.7
X_3^v	-6.7598	-7.4958	-6.88	-3.151	-6.8
X_5^v	-2.8175	-2.8901	-2.89	-3.023	-2.8
X_1^c	2.1598	2.0300	2.03	1.932	2.2
X_3^c	7.5975	2.3800	2.38	2.117	

الجدول (3) فجوة الطاقة لبلورة GaAs في نقاط التماثل Γ ، X و L

Band Gap (eV)	sp^3s^*	sp^3	Others works	
			[19]	[20]
E_g^Γ	1.5500	1.6250	1.519	1.538
E_g^X	2.0300	2.1598	1.981	2.049
E_g^L	1.6902	1.7000	1.815	1.889

يبين الشكل (6) المقارنة بين تركيب الحزمة باستخدام النموذجين sp^3 و sp^3s^* اذ يلاحظ ان هناك تجانس اكثر في حزمة التكافؤ، اما حزمة التوصيل فتظهر فروق واضحة بين الحزمة الاولى والحزمة الثانية مع ظهور حزم جديدة نتيجة اختلاف حجم مصفوفة هاميلتون H نتيجة اضافة التفاعلات الاضافية في النموذج sp^3s^* .



الشكل (6) مقارنة تركيب حزمة الطاقة لبلورة GaAs بين نموذج sp^3 ونموذج sp^3s^*

حساب الكتلة الفعالة

يتم حساب الكتلة الفعالة m^* لبلورة GaAs بشكل مباشرة من خلال حساب تركيب الحزمة التي تعطي العلاقة بين الطاقة E ومتجه الموجة k لحزمة التوصيل وحزمة التكافؤ. يمكن بصورة عامة وصف معظم أشباه الموصلات بأنها تحتوي في حزمة التوصيل على منخفض طاقة واحدة كحد ادنى عند $k = 0$ بالإضافة الى العديد من منخفضات الطاقة المكافئة لحزمة الطاقة عندما $k \neq 0$ ، في حين هناك ثلاثة حزم طاقة عليا قريبة من حافة حزمة التكافؤ عند $k = 0$. لحساب الكتلة الفعالة نشق الطاقة مرتين بالنسبة إلى متجه الموجة k ، اذ تعطى الكتلة الفعالة بالعلاقة الاتية [20]:

$$m^* = \hbar^2 \cdot \left[\frac{d^2 E}{dk^2} \right]^{-1} \quad (28)$$

اذ تم حساب الكتلة الفعالة m^* على طول اتجاه محور التماثل [111] لأدنى حزمة للتوصيل في GaAs باستخدام طريقة الربط المحكم للنموذجين sp^3 و sp^3s^* و والمبينة في الشكلين (7) و (8) وتم تسجيل نتائج الكتلة الفعالة للإلكترون في مركز منطقة برليون الاولى

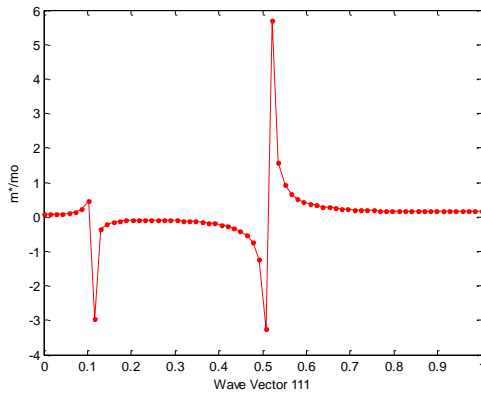
في الجدول (4)، وذلك من خلال حل المعادلة (28) واستخدام برنامج حاسوبي تم اعداده في هذه الدراسة بلغة (MATLAB) اذ يتم تحديد الحزمة المطلوبة في اتجاه معين وحساب المشتقة الثانية للطاقة بالنسبة لمتجه الموجة عدديا وحسب العلاقة الاتية [20]

$$\left. \frac{d^2 E}{dk^2} \right|_i \approx \frac{E_{i-1} - 2E_i + E_{i+1}}{(\Delta k)^2} \quad (29)$$

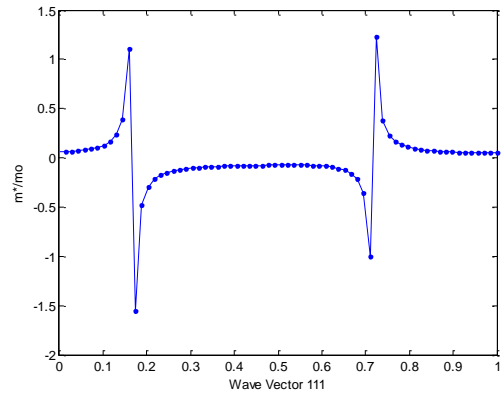
اذ تم تحديد قيم مختلفة لـ Δk للوصول الى افضل قيمة لحساب الكتلة الفعالة، وقيمة Δk المستخدمة في الحسابات كانت 0.03. تكون علاقة التشتت تربيعية بالنسبة للجسيم الحر وعليه إن الكتلة الفعالة ستكون ثابتة وتساوي الكتلة الحقيقية. في حين يكون الوضع أكثر تعقيداً في البلورة اذ لا تكون علاقة التشتت تربيعية ولا تتحقق عند زيادة متجه الموجة k وبذلك تصبح الكتلة غير ثابتة وتكون دالة لمتجه الموجة [21].

الجدول (4) الكتلة الفعالة m^* لحزمة التوصيل في الاتجاه [111] لبلورة GaAs نموذج sp^3s^* ونموذج sp^3

	This work		Others works	
	sp^3s^*	sp^3		
$m_e^*(\Gamma)/m_o$	0.0626	0.0735	0.067[13]	0.067[19]

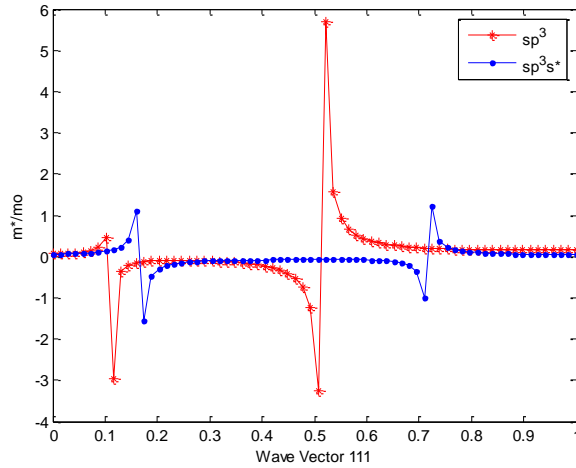


الشكل (8) الكتلة الفعالة m^* لحزمة التوصيل في الاتجاه [111] لبلورة GaAs نموذج sp^3 باستخدام طريقة الربط المحكم



الشكل (7) الكتلة الفعالة m^* لحزمة التوصيل في الاتجاه [111] لبلورة GaAs نموذج sp^3s^* باستخدام طريقة الربط المحكم

تم اجراء مقارنة الكتلة الفعالة m^* على طول اتجاه التماثل [111] في GaAs بواسطة طريقة الربط المحكم باستخدام نموذج sp^3 ونموذج sp^3s^* حيث نلاحظ وجود نقطتين للانقلاب لكل نموذج وكما موضح في الشكل (9). عند نقاط الانقلاب هذه تتغير قيمة الكتلة الفعالة كثيرا وتتحول من القيم الموجبة الى السالبة (او بالعكس) وسبب ذلك يعود الى شكل سطح الطاقة في فضاء متجه الموجة الذي يتغير من التحدب الى التقعير (او من التقعير الى التحدب).



الشكل (8) مقارنة الكتلة الفعالة m^* في الاتجاه [111] لبلورة GaAs بين نموذج sp^3 ونموذج sp^3s^* باستخدام طريقة الربط المحكم

المناقشة والاستنتاجات

تم باستخدام طريقة الربط المحكم حساب تركيب حزمة الطاقة الالكترونية في شبه موصل مركب GaAs باستخدام نموذج

sp^3 و sp^3s^* اذ تم مقارنة النتائج مع بحوث اخرى وقد تم استنتاج ما يلي:

هناك توافق في كلا النموذجين المستخدمين في دراسة تراكيب حزم التكافؤ والتوصيل بالرغم من اختلاف الاستراتيجية في النموذجين. تكون فجوة الحزمة 1.5500 eV و 1.6250 eV بأستخدام النموذجين sp^3 و sp^3s^* على التوالي. اظهرت حسابات فجوة الطاقة بين النقاط عالية التناظر Γ و X و L ان النموذج sp^3s^* اعطى نتائج ادق واكثر تطابقا مع النتائج المنشورة في فجوة الطاقة عند النقطة Γ والنقطة X واقل تطابقا عند النقطة L . كما بينت الحسابات ان كلا النموذجين يعطي فجوة طاقة مباشرة عند النقطة Γ اي عندما $k = 0$ وفجوات طاقة غير مباشرة عند $k \neq 0$ ، واطهر كلا النموذجين تطابقا واضحا في وصف حزمة التكافؤ. تكون الكتلة الفعالة عند حافة منطقة بريليون الاولى عند النقطة Γ والتي تمثل مركز المنطقة المختزلة ذات قيمة ثابتة تقريبا اذ كانت تساوي 0.0626 و 0.0735 في كلا النموذجين sp^3 و sp^3s^* على التوالي.

شكر و تقدير

يتقدم الباحثان بالشكر والتقدير الى عمادة كلية التربية للعلوم الصرفة وقسم الفيزياء على دعم البحث.

المصادر

1. Galsin, J.S., Solid State Physics: An Introduction to Theory. Academic Press (2019).
2. Callaway, J., Quantum theory of the solid state. Academic Press (2013).
3. Balkanski, M., R.F. Wallis, and R.F. Wallis, Semiconductor physics and applications. Vol. 8: Oxford University Press (2000).

4. Martin, R.M., Electronic structure: basic theory and practical methods. Cambridge university press (2020).
5. Cardona, M. and Y.Y. Peter, Fundamentals of semiconductors. Springer (2005).
6. Voon, L.C.L.Y., Electronic and Optical Properties of Semiconductors: A Study Based on the Empirical Tight Binding Model. Universal-Publishers (1997).
7. Löwdin, P.O., J. Chem. Phys., **19**(11): p. 1396-1401 (1951).
8. Harrison, W.A., Electronic structure and the properties of solids: the physics of the chemical bond. Courier Corporation (2012).
9. Cohen, M.L. and J.R. Chelikowsky, Electronic structure and optical properties of semiconductors. Vol. 75. Springer Science & Business Media (2012).
10. Paxton, A.T., J. NIC Series, **42**: p. 145-176 (2009).
11. Slater, J.C. and Koster G.F., Phys. Rev. **94**(6): p. 1498-1524 (1954).
12. CHADI, D., Phys. Stat. Sol., **68**: p. 405-419 (1975).
13. Klimeck, G., Bowen, R. C., Boykin, T. B. and Cwik, T. A., J. Superlattices Microstructures, **27**: p. 519-524 (2000).
14. Smith, D. and Mailhiot, C., Rev. Mod. Phys., **62**(1): p. 173-234 (1990).
15. Ünlü, H., Karim, M. R., Gürel, H. H. and Akinci, Ö., Advances in Low-Dimensional Semiconductor Structures, in Low Dimensional Semiconductor Structures., Springer. p. 1-17 (2013).
16. Harrison, W.A., Elementary electronic structure (revised edition). World Scientific Publishing Company (2004).
17. Vogl, P., Hjalmarson, H. P. and Dow, J. D., J. Phys. Chem. Sol., **44**(5): p. 365-378 (1983).
18. Dresselhaus, M., Dresselhaus, G., Cronin, S., Souza, F. A.G., Solid State Properties. Springer (2018).
19. Vurgaftman, I., Meyer, J.áR. and Ram-Mohan, L.áR., J. Applied. Phys., **89**(11): p. 5815-5875 (2001).
20. Gopir, G., Zulkifli, N. and Othman, A. P., Solid State Science and Technology **13**, 1 & 2, 234-243 (2005).
21. Kittel, C., Introduction to solid state physics, eight editions, library of congress cataloging. (2005).